OŚ.6221.20.2026.MB
MB
05 11 26
cep

Data wysłania : **03.11.2026**

Od: **NETWORKS SPÓŁKA Z OGRANICZONĄ ODPOWIEDZIALNOŚCIĄ**
<AE:PL-75331-40483-VAGTH-20>

WPŁYNĘŁO
STAROSTWO POWIATOWE w CHOSZCZNIE
ul. Nadbrzeżna 2, 73-200 Choszczno
KANCELARIA OGÓLNA
03. 11. 2026
Skierowano
L.dz. 14316/2026

Do:
**STAROSTWO POWIATOWE W CHOSZCZNIE**
<AE:PL-62479-11804-IJBJH-25>

# 62298 - art.152 POŚ MM

informuję o zmianie danych w zakresie wielkości i rodzaju emisji dla instalacji radiokomunikacyjnej 42298 (62298N!) PGO_KRZECIN_WSCHOD zlokalizowanej w miejscowości KRZĘCIN DZ.250.

Załączniki:

1. **N_62298_aktualizacja_zgłoszenia_w_trybie_art_152_ustawy_Poś_ver2-sig.pdf**
2. **opłata.pdf**
3. **62298_9628_2026_OS-sig.pdf**
4. **20260511_MMałek_TMPL.pdf**
5. **TMPL_PP_Rep.A8250_2024_zast.pdf**

Podpis elektroniczny zweryfikowany
w dniu 03.11.2026
wynik weryfikacji: ważny/nieważny/
brak możliwości weryfikacji
podpis weryfikującego .....
brak upo

Poznań, dn. 2026-11-03

T-Mobile Polska S.A.
ul. Marynarska 12
02-674 Warszawa

Pełnomocnik: Magdalena Małek
Pełnomocnictwo numer: 265/05/26
z dnia: 2026-05-11

**dane do korespondencji:**
**NetWorks Sp. z o.o.**
ul. Józefa Piusa Dziekońskiego 3
00-728 Warszawa
tel. 518427631
AE:PL-75331-40483-VAGTH-20

**Starosta Choszczeński**
**Starostwo Powiatowe w Choszcznie**
**ul. Nadbrzeżna 2**
**73-200 Choszczno**
**AE:PL-62479-11804-IJBJH-25**

**Dotyczy:** ustawowego obowiązku, wynikającego z art. 152 ust. 1 i ust. 7 w związku z ust. 6 pkt 1c ustawy z dnia 27 kwietnia 2001r – Prawo ochrony środowiska (Dz.U. 2025 poz. 647).

Działając z upoważnienia T-Mobile Polska S.A. z siedzibą ul. Marynarska 12, 02-674 Warszawa, **informuję o zmianie danych w zakresie wielkości i rodzaju emisji** dla instalacji radiokomunikacyjnej **42298 (62298N!) PGO_KRZECIN_WSCHOD** zlokalizowanej w miejscowości KRZĘCIN DZ.250. W stosunku do informacji zawartej w zgłoszeniu realizowanym dla tej instalacji w trybie art. 152 ust. 1 i 5 ustawy z dnia 27 kwietnia 2001r – Prawo ochrony środowiska (Dz.U. 2025 poz. 647), dane ulegają zmianie w następujący sposób:

***9. Wielkość i rodzaj emisji[2]:***

Pole elektromagnetyczne. EIRP poszczególnych anten zostało podane w pkt 12, tj.

| Lp. | Równoważna moc promieniowana izotropowo (EIRP) [W] |
|---|---|
| 1. | 34743 |
| 2. | 34743 |
| 3. | 34743 |
| 4. | 34743 |
| 5. | 4179 |

21/2014

***12. Szczegółowe dane, odpowiednio do rodzaju instalacji, zgodne z wymaganiami określonymi w załączniku nr 2 do Rozporządzenia:***

| Lp. / Lp. | 1) | 2) | 3) | 4) | 5) | |
|---|---|---|---|---|---|---|
| | **Współrzędne geograficzne** | **Częstotliwość lub zakresy częstotliwości pracy instalacji** *[MHz]* | **Wysokość środka elektrycznego anteny** *[m n.p.t]* | **Równoważna moc promieniowana izotropowo (EIRP)** *[W]* | **Azymut** *[°]* | **Kąt pochylenia lub zakresy kątów pochylenia** *[°]* |
| 1. | 15°29'56.6" 53°4'50.8" | 700/800/900/ 1800/2100 | 59 | 34743 | 60 | 2-12/2-12/ 2-12/2-12/ 2-12 |
| 2. | 15°29'56.5" 53°4'50.7" | 700/800/900/ 1800/2100 | 59 | 34743 | 150 | 2-12/2-12/ 2-12/2-12/ 2-12 |
| 3. | 15°29'56.4" 53°4'50.8" | 700/800/900/ 1800/2100 | 59 | 34743 | 240 | 2-12/2-12/ 2-12/2-12/ 2-12 |
| 4. | 15°29'56.5" 53°4'50.8" | 700/800/900/ 1800/2100 | 59 | 34743 | 330 | 2-12/2-12/ 2-12/2-12/ 2-12 |
| 5. | 15°29'56.6" 53°4'50.7" | 18000 | 59.5 | 4179 | 112* | nd. |

**) tolerancja azymutu od -10° do + 10°.*

Informuję, iż dokonane zmiany w zakresie wielkości i rodzaju emisji przedmiotowej instalacji nie powodują zmiany instalacji w sposób istotny zgodnie z art. 3 pkt 7 ustawy Poś.

W załączniku przesyłam:

1. Pełnomocnictwo
2. Kopia potwierdzenia wniesienia opłaty skarbowej.
3. Sprawozdanie z pomiarów pól elektromagnetycznych wykonanych dla celów ochrony środowiska.

Otrzymują:
1. a/a
2. adresat

Signed by / Podpisano przez:

Magdalena Patrycja Małek

Date / Data: 2026-11-03 13:51

mBank
CompanyNet

# Potwierdzenie realizacji transakcji

| | |
|---|---|
| **Typ transakcji** | **Przelew krajowy, wychodzący** |
| **Stan transakcji** | **Zaksięgowane** |
| **Strona transakcji** | **Obciążenie** |
| **Data i godzina wygenerowania** | **2026-10-21 09:01:14** |
| **Data i godzina księgowania** | **2026-10-20 13:00:30** |
| **System** | **Elixir** |

**Dane zleceniodawcy**

| | |
|---|---|
| Nazwa i adres | **ORANGE POLSKA S.A.**<br>**UL. ALEJE JEROZOLIMSKIE 160**<br>**02-326 WARSZAWA PL** |
| Rachunek | **11114010100000274031001021** |

**Dane beneficjenta**

| | |
|---|---|
| Nazwa i adres | **TAX_URZAD MIASTA ST.WARSZAWA_CENTRU**<br>**M OBSLUGI PODATNIKA 2000003620 OBO**<br>**ZOWA 57 01-161 WARSZAWA** |
| Rachunek | **21103015080000000550000070** |

**Szczegóły**

| | |
|---|---|
| Kwota | **17,00** |
| Waluta | **PLN** |
| Tytułem | **62298 - oplata skarbowa za pelnomoc**<br>**nictwa w imieniu NetWorks Sp.z o.o**<br>**.** |
| Referencje klienta | **5262121** |
| Dodatkowe referencje Klienta mCN | **2421944706** |
| Referencje banku | **BR26293306078503** |
| Identyfikator banku | **214786595146830.390001** |

**Data sporządzenia dokumentu na elektronicznym nośniku informacji: 21.10.2026**

Dokument związany z czynnością bankową, sporządzony na elektronicznym nośniku informacji na podstawie art. 7 Ustawy z dnia 29 sierpnia 1997 r. Prawo bankowe (tekst jednolity: Dz.U.02.72.665 z późn. zm.). Nie wymaga podpisu ani stempla.

NetWorks Sp. z o.o.
Laboratorium Badań Środowiskowych
ul. Józefa Piusa Dziekońskiego 3
00-728 Warszawa
e-mail: Laboratorium@networks.pl

AB 419

# S P R A W O Z D A N I E 9628/2026/OS
# Z POMIARÓW PÓL ELEKTROMAGNETYCZNYCH
# WYKONANYCH DLA POTRZEB OCHRONY ŚRODOWISKA

Badany obiekt: Instalacja radiokomunikacyjna T-Mobile Polska S.A.
Numer i nazwa: 42298 (62298N!) PGO_KRZECIN_WSCHOD
Adres: KRZĘCIN DZ.250, Powiat choszczeński, WOJ. ZACHODNIOPOMORSKIE

Data wykonania pomiarów: 2026-10-28

Sprawozdanie z badań bez pisemnej zgody laboratorium nie może być powielane inaczej niż w całości.
Wyniki przedstawione w niniejszym sprawozdaniu odnoszą się wyłącznie do badanego obiektu i do warunków i konfiguracji urządzeń w dniu wykonywania pomiarów.

1. **Właściciel badanego obiektu:**
   T-Mobile Polska S.A., ul. Marynarska 12, 02-674 Warszawa

2. **Zleceniodawca:**
   T-Mobile Polska S.A., ul. Marynarska 12, 02-674 Warszawa

3. **Przedstawiciel zleceniodawcy:**
   NetWorks Sp. z o.o.

4. **Zakres zlecenia:**
   Wykonanie badania i opracowanie sprawozdania z pomiarów natężenia pola elektrycznego i pola magnetycznego dla instalacji radiokomunikacyjnej T-Mobile Polska S.A. zlokalizowanej w miejscowości KRZĘCIN DZ.250.

5. **Cel zlecenia:**
   Wykonanie pomiarów pól elektomagnetycznych w otoczeniu instalacji radiokomunikacyjnej 42298 (62298N!) PGO_KRZECIN_WSCHOD w odniesieniu do wymagań określonych w *Rozporządzeniu Ministra Klimatu z dnia 17 lutego 2020 r. w sprawie sposobów sprawdzania dotrzymania dopuszczalnych poziomów pól elektromagnetycznych w środowisku (Dz.U. 2022 poz. 2630).*

6. **Pomiary zostały wykonane przez:**
   Grzegorzewski Jan
   Mroczyński Marcin

7. **Informacje o źródłach pól elektromagnetycznych**

**7.1. Sposób identyfikacji badanych źródeł pól elektromagnetycznych**

Identyfikacji źródeł i parametrów technicznych dokonano na podstawie analizy dokumentacji dotyczącej zlecenia oraz obserwacji miejsca wykonywania badań.

**7.2. Opis miejsca zainstalowania anten i urządzeń technicznych. Opis obiektu badań i jego otoczenia**

Instalacja radiokomunikacyjna zlokalizowana jest na terenie ogrodzonym. Anteny zawieszono na wieży kratowej. Urządzenia sterujące oraz zasilające zainstalowano w szafie outdoor u podstawy wieży. Wokół instalacji znajdują się tereny rolnicze.

Instalacja radiokomunikacyjna jest obiektem bezobsługowym. Okresowe stanowiska pracy związane są z prowadzonymi w zależności od potrzeb konserwacjami, przeglądami, strojeniem i naprawami.

Sprawozdanie z badań bez pisemnej zgody laboratorium nie może być powielane inaczej niż w całości.
Wyniki przedstawione w niniejszym sprawozdaniu odnoszą się wyłącznie do badanego obiektu i do warunków i konfiguracji urządzeń w dniu wykonywania pomiarów.

### 7.3. Parametry techniczne źródła pola elektromagnetycznego

Dane przedstawiające maksymalne parametry pracy instalacji przekazane przez zleceniodawcę:

Parametry systemu nadawczo-odbiorczego:

| | |
|---|---|
| Charakterystyka promieniowania | Kierunkowa |
| Rzeczywisty czas pracy [h/dobę] | 24 |
| Warunki pracy | Znamionowe |
| Rodzaj wytwarzanego pola | Stacjonarne |

| Lp. | Częstotliwość lub zakresy częstotliwości pracy [MHz] | Typ/producent anteny | liczba anten | Azymut [°] | kąt pochylenia [°] | Wysokość środka elektrycznego anteny [m n.p.t] | Równoważna moc promieniowana izotropowo (EIRP) [W] |
|---|---|---|---|---|---|---|---|
| 1 | 700/800/900/1800/2100 | RRVV-65D-R4 CommScope | 1 | 60 | 2-12**/2-12**/2-12**/ 2-12**/2-12** | 59 | 34743 |
| 2 | 700/800/900/1800/2100 | RRVV-65D-R4 CommScope | 1 | 150 | 2-12**/2-12**/2-12**/ 2-12**/2-12** | 59 | 34743 |
| 3 | 700/800/900/1800/2100 | RRVV-65D-R4 CommScope | 1 | 240 | 2-12**/2-12**/2-12**/ 2-12**/2-12** | 59 | 34743 |
| 4 | 700/800/900/1800/2100 | RRVV-65D-R4 CommScope | 1 | 330 | 2-12**/2-12**/2-12**/ 2-12**/2-12** | 59 | 34743 |

* wskazane wartości kąta pochylenia anten, zgodnie z informacją uzyskaną od zleceniodawcy, są wartościami stałymi
** pomiary wykonano zgodnie z pkt 13., ppkt 2 załącznika do Rozporządzenia Ministra Klimatu z dnia 17 lutego 2020 r. (Dz. U. 2022, poz. 2630).

Parametry radiolinii:

| | |
|---|---|
| Charakterystyka promieniowania | kierunkowa |
| Rzeczywisty czas pracy [h/dobę] | 24 |
| Warunki pracy | znamionowe |
| Rodzaj wytwarzanego pola | stacjonarne |

| Lp. | Linia radiowa | | | Antena | | | |
|---|---|---|---|---|---|---|---|
| | Typ/ Producent | Częstotliwość pracy [GHz] | Równoważna moc promieniowana izotropowo (EIRP) [W] | Typ/ producent | Średnica anteny [m] | Azymut [°] | Wysokość zainstalowania n.p.t [m] |
| 1. | RTN XMC-5D 18G 28MHz XPIC Huawei | 18 | 4179 | A18D80S06 Huawei | 0.6 | 112 | 59.5 |

### 7.4 Inne źródła pól elektromagnetycznych

Na podstawie informacji otrzymanych od użytkownika oraz obserwacji otoczenia miejsca wykonywania pomiarów stwierdzono występowanie innych źródeł pola-EM, pracujących w systemach: telefonii komórkowej (800MHz-3800MHz), linii radiowych (5GHz-90GHz), które istotnie wpływają na wyniki pomiarów.

## 8. Opis pomiarów

### 8.1. Metoda badań

Zgodna z rozporządzeniem Ministra Klimatu z dnia 17 lutego 2020 r. w sprawie sposobów sprawdzania dotrzymania dopuszczalnych poziomów pól elektromagnetycznych w środowisku (Dz.U. 2022 poz. 2630), określona w pkt 25 ppkt 1 załącznika do niniejszego rozporządzenia.

Sprawozdanie z badań bez pisemnej zgody laboratorium nie może być powielane inaczej niż w całości.
Wyniki przedstawione w niniejszym sprawozdaniu odnoszą się wyłącznie do badanego obiektu i do warunków i konfiguracji urządzeń w dniu wykonywania pomiarów.

### 8.2. Termin pomiarów i warunki środowiskowe

Podczas wykonywania pomiarów pól elektromagnetycznych nie występowały opady atmosferyczne. Wyniki pomiaru parametrów pogodowych przedstawia poniższa tabela:

| Data [rrrr-mm- dd] | Godzina [hh:mm-hh:mm] | Warunki środowiskowe | | | |
|---|---|---|---|---|---|
| | | Temperatura [°C] | | Wilgotność względna [%] | |
| 2026-10-28 | 10:55-12:00 | Przed pomiarem | Po pomiarach | Przed pomiarem | Po pomiarach |
| | | 11.0 | 12.0 | 74.0 | 72.7 |

Przedstawione wyżej warunki środowiskowe, występujące podczas wykonywania pomiarów pól elektromagnetycznych, są zgodne ze specyfikacją techniczną użytego zestawu pomiarowego.

### 8.3. Warunki pracy urządzeń nadawczych

Podczas pomiarów w przypadku uzyskania wyniku pomiaru szerokopasmowego wykonanego zastosowaną metodą, dla zakresów częstotliwości od 10 MHz do 300 GHz, powiększonego o rozszerzoną niepewność pomiaru U dla współczynnika rozszerzenia k = 2 przekraczającego 70% najniższej dopuszczalnej wartości składowej elektrycznej lub magnetycznej pola dla objętych pomiarami zakresów częstotliwości, uwzględnia się poprawki pomiarowe przekazane przez zleceniodawcę, umożliwiające uwzględnienie maksymalnych parametrów pracy instalacji zgodnie z pkt 7 załącznika do Rozporządzeniem Ministra Klimatu z dnia 17 lutego 2020 r. w sprawie sposobów sprawdzania dotrzymania dopuszczalnych poziomów pól elektromagnetycznych w środowisku (Dz. U. 2022, poz. 2630) zaznaczając, że wymagane jest wykonanie pomiaru z wykorzystaniem miernika selektywnego. W przypadku uzyskania wyniku pomiaru szerokopasmowego wykonanego zastosowaną metodą, dla zakresów częstotliwości od 10 MHz do 300 GHz, powiększonego o rozszerzoną niepewność pomiaru U dla współczynnika rozszerzenia k = 2 nieprzekraczającego 70% najniższej dopuszczalnej wartości składowej elektrycznej lub magnetycznej pola dla objętych pomiarami zakresów częstotliwości, nie uwzględnia się poprawek pomiarowych.

### 8.4. Wyposażenie pomiarowe

Zestaw pomiarowy służący do pomiaru natężenia składowej elektrycznej pola elektromagnetycznego złożony z szerokopasmowego miernika i sondy pomiarowej:

| Oznaczenie miernika | Producent | Model | Numer fabryczny | Oznaczenie sondy | Producent | Model | Numer fabryczny |
|---|---|---|---|---|---|---|---|
| MW-04 | Wavecontrol | Miernik pól elektromagnetycznych SMP2 | 22SN1953 | SW-07 | Wavecontrol | Sonda WPF60 | 22WP230193 |

Mierniki natężenia pola elektromagnetycznego podlegają okresowemu sprawdzeniu zgodnie z procedurą wewnętrzną P-03 i PB-01. Świadectwo wzorcowania zestawu pomiarowego z dnia 30 maja 2025 o numerze LWiMP/W/179/25 wydane przez Politechnika Wrocławska. Data następnego wzorcowania: 30 maja 2027 (zgodnie z procedurą wewnętrzną P-03).

| Oznaczenie miernika | Producent | Model | Numer fabryczny | Oznaczenie sondy | Producent | Model | Numer fabryczny |
|---|---|---|---|---|---|---|---|
| MW-04 | Wavecontrol | Miernik pól elektromagnetycznych SMP2 | 22SN1953 | SW-08 | Wavecontrol | Sonda WPF3-HP | 22WP030430 |

Mierniki natężenia pola elektromagnetycznego podlegają okresowemu sprawdzeniu zgodnie z procedurą wewnętrzną P-03 i PB-01. Świadectwo wzorcowania zestawu pomiarowego z dnia 11 czerwca 2026 o numerze LWiMP/W/274/26 wydane przez Politechnika Wrocławska. Data następnego wzorcowania: 10 czerwca 2028 (zgodnie z procedurą wewnętrzną P-03).

Termohigrometr:

| Oznaczenie: | TH-13 | Producent: | AZ INSTRUMENT CORP | Model: | Termohigrometr AZ8706 |
|---|---|---|---|---|---|

Data następnego wzorcowania: 7 stycznia 2027 (zgodnie z procedurą wewnętrzną P-03).

Dalmierz:

| Oznaczenie | Producent | Typ | Numer seryjny | Nr świadectwa wzorcowania | Data świadectwa wzorcowania |
|---|---|---|---|---|---|
| D-10 | Leica | Dalmierz Leica Disto D510 | 1042956690 | Z3-Z32.4180.182.2024.4196.4 | 8 stycznia 2025 |

Data następnego wzorcowania: 8 stycznia 2035 (zgodnie z procedurą wewnętrzną P-03).

Sprawozdanie z badań bez pisemnej zgody laboratorium nie może być powielane inaczej niż w całości.
Wyniki przedstawione w niniejszym sprawozdaniu odnoszą się wyłącznie do badanego obiektu i do warunków i konfiguracji urządzeń w dniu wykonywania pomiarów.

Odbiornik GNSS:

| Odbiornik GNSS wbudowany w miernik natężenia pola elektromagnetycznego użyty podczas pomiarów | Producent | Model |
|---|---|---|
| | UBlox | MAX-M8Q |

Odbiorniki podlegają okresowemu sprawdzeniu zgodnie z procedurą wewnętrzną P-03.

## 9. Wyniki pomiarów

W obszarze pomiarowym, w którym na podstawie uprzednio przeprowadzonych obliczeń (OOP* 4072/2026/RP), stwierdzono występowanie w danych zakresach częstotliwości pól elektromagnetycznych o poziomach zbliżonych do poziomów dopuszczalnych, określonych w przepisach wydanych na podstawie art. 122 ust. 1 ustawy z dnia 27 kwietnia 2001 r. – Prawo ochrony środowiska nie stwierdzono występowania zabudowy mieszkalnej.

*OOP - Obligatoryjny Obszar Pomiarowy - opracowanie przedstawia przewidywane rozkłady pól elektromagnetycznych w otoczeniu instalacji radiokomunikacyjnej.

Pole elektryczne

| Nr pionu | Opis umiejscowienia pionu (punktu) pomiarowego | Wysokość pomiaru [m] | Zmierzona wartość natężenia pola elektrycznego E [V/m][1,5] | | | Wartość natężenia pola elektrycznego powiększona o niepewność pomiaru [4] E [V/m] | Wskaźnikowa wartość poziomu emisji pól elektromagnetycznych $WM_E$[3] | Współrzędne geograficzne pionu (punktu) pomiarowego[2] |
|---|---|---|---|---|---|---|---|---|
| | | | Sonda SW-07 | Sonda SW-08 | Wartość | | | |
| 1 | GKP w odległości poziomej 13m od anteny sektorowej az. 60° | 0.3-2.0 | **<1.0*** | **<1.0*** | **<1.0*** | 1.3 | 0.05 | 53°4'50.9" 15°29'57.1" |
| 2 | GKP w odległości poziomej 15m od anteny sektorowej az. 330° | 0.3-2.0 | **<1.0*** | **<1.0*** | **<1.0*** | 1.3 | 0.05 | 53°4'51.2" 15°29'56.0" |
| 3 | GKP w odległości poziomej 14m od anteny sektorowej az. 240° | 0.3-2.0 | **<1.0*** | **<1.0*** | **<1.0*** | 1.3 | 0.05 | 53°4'50.5" 15°29'55.7" |
| 4 | GKP w odległości poziomej 16m od anteny sektorowej az. 150° | 0.3-2.0 | **<1.0*** | **<1.0*** | **<1.0*** | 1.3 | 0.05 | 53°4'50.2" 15°29'57.1" |
| 5 | GKP w odległości poziomej 24m od anteny radioliniowej az. 112° | 0.3-2.0 | **<1.0*** | **<1.0*** | **<1.0*** | 1.3 | 0.05 | 53°4'50.5" 15°29'57.8" |
| 6 | GKP w odległości poziomej 52m od anteny radioliniowej az. 112° | 0.3-2.0 | **<1.0*** | **<1.0*** | **<1.0*** | 1.3 | 0.05 | 53°4'50.2" 15°29'59.3" |
| 7 | GKP w odległości poziomej 37m od anteny sektorowej az. 60° | 0.3-2.0 | **<1.0*** | **<1.0*** | **<1.0*** | 1.3 | 0.05 | 53°4'51.2" 15°29'58.2" |
| 8 | GKP w odległości poziomej 75m od anteny sektorowej az. 60° | 0.3-2.0 | **<1.0*** | **<1.0*** | **<1.0*** | 1.3 | 0.05 | 53°4'52.0" 15°30'0.0" |
| 9 | GKP w odległości poziomej 113m od anteny sektorowej az. 60° | 0.3-2.0 | **<1.0*** | **<1.0*** | **<1.0*** | 1.3 | 0.05 | 53°4'52.7" 15°30'1.8" |
| 10 | GKP w odległości poziomej 37m od anteny sektorowej az. 150° | 0.3-2.0 | **<1.0*** | **<1.0*** | **<1.0*** | 1.3 | 0.05 | 53°4'49.8" 15°29'57.5" |
| 11 | GKP w odległości poziomej 73m od anteny sektorowej az. 150° | 0.3-2.0 | **<1.0*** | **<1.0*** | **<1.0*** | 1.3 | 0.05 | 53°4'48.7" 15°29'58.6" |
| 12 | GKP w odległości poziomej 109m od anteny sektorowej az. 150° | 0.3-2.0 | **<1.0*** | **<1.0*** | **<1.0*** | 1.3 | 0.05 | 53°4'47.6" 15°29'59.6" |
| 13 | GKP w odległości poziomej 36m od anteny sektorowej az. 240° | 0.3-2.0 | **<1.0*** | **<1.0*** | **<1.0*** | 1.3 | 0.05 | 53°4'50.2" 15°29'54.6" |
| 14 | GKP w odległości poziomej 72m od anteny sektorowej az. 240° | 0.3-2.0 | **<1.0*** | **<1.0*** | **<1.0*** | 1.3 | 0.05 | 53°4'49.4" 15°29'53.2" |
| 15 | GKP w odległości poziomej 108m od anteny sektorowej az. 240° | 0.3-2.0 | **<1.0*** | **<1.0*** | **<1.0*** | 1.3 | 0.05 | 53°4'49.1" 15°29'51.4" |

Sprawozdanie z badań bez pisemnej zgody laboratorium nie może być powielane inaczej niż w całości.
Wyniki przedstawione w niniejszym sprawozdaniu odnoszą się wyłącznie do badanego obiektu i do warunków i konfiguracji urządzeń w dniu wykonywania pomiarów.

| | | | | | | | | |
|---|---|---|---|---|---|---|---|---|
| 16 | GKP w odległości poziomej 36m od anteny sektorowej az. 330° | 0.3-2.0 | **<1.0*** | **<1.0*** | **<1.0*** | 1.3 | 0.05 | 53°4'52.0" 15°29'55.7" |
| 17 | GKP w odległości poziomej 71m od anteny sektorowej az. 330° | 0.3-2.0 | **<1.0*** | **<1.0*** | **<1.0*** | 1.3 | 0.05 | 53°4'52.7" 15°29'54.6" |
| 18 | GKP w odległości poziomej 111m od anteny sektorowej az. 330° | 0.3-2.0 | **<1.0*** | **<1.0*** | **<1.0*** | 1.3 | 0.05 | 53°4'53.8" 15°29'53.5" |
| - | GKP w odległości poziomej 283m od anteny sektorowej az. 60° | 0.3-2.0 | **<1.0*** | **<1.0*** | **<1.0*** | 1.3 | 0.05 | 53°4'55.2" 15°30'9.7" |
| - | GKP w odległości poziomej 284m od anteny sektorowej az. 330° | 0.3-2.0 | **<1.0*** | **<1.0*** | **<1.0*** | 1.3 | 0.05 | 53°4'58.8" 15°29'48.8" |
| - | GKP w odległości poziomej 287m od anteny sektorowej az. 150° | 0.3-2.0 | **<1.0*** | **<1.0*** | **<1.0*** | 1.3 | 0.05 | 53°4'42.6" 15°30'4.3" |
| - | GKP w odległości poziomej 284m od anteny sektorowej az. 240° | 0.3-2.0 | **<1.0*** | **<1.0*** | **<1.0*** | 1.3 | 0.05 | 53°4'46.2" 15°29'43.1" |
| 23 | PKP na az. 21° w odległości poziomej 32m od anteny sektorowej az. 60° | 0.3-2.0 | **<1.0*** | **<1.0*** | **<1.0*** | 1.3 | 0.05 | 53°4'51.6" 15°29'57.1" |
| 24 | PKP na az. 100° w odległości poziomej 34m od anteny sektorowej az. 150° | 0.3-2.0 | **<1.0*** | **<1.0*** | **<1.0*** | 1.3 | 0.05 | 53°4'50.5" 15°29'58.2" |
| 25 | PKP na az. 197° w odległości poziomej 32m od anteny sektorowej az. 240° | 0.3-2.0 | **<1.0*** | **<1.0*** | **<1.0*** | 1.3 | 0.05 | 53°4'49.8" 15°29'56.0" |
| 26 | PKP na az. 288° w odległości poziomej 35m od anteny sektorowej az. 330° | 0.3-2.0 | **<1.0*** | **<1.0*** | **<1.0*** | 1.3 | 0.05 | 53°4'51.2" 15°29'54.6" |

Pole magnetyczne (wyznaczone na podstawie pomiaru wartości natężenia pola elektrycznego)

| Nr pionu | Opis umiejscowienia pionu (punktu) pomiarowego | Wysokość pomiaru [m] | Wartość natężenia pola magnetycznego H [A/m][1] | | | Wartość natężenia pola magnetycznego powiększona o niepewność pomiaru[4] H [A/m] | Wskaźnikowa wartość poziomu emisji pól elektromagnetycznych $WM_H$[3] | Współrzędne geograficzne pionu (punktu) pomiarowego[2] |
|---|---|---|---|---|---|---|---|---|
| | | | Sonda SW-07 | Sonda SW-08 | Wartość | | | |
| 1 | GKP w odległości poziomej 13m od anteny sektorowej az. 60° | 0.3-2.0 | **<0.003*** | **<0.003*** | <0.003* | 0.003 | 0.05 | 53°4'50.9" 15°29'57.1" |
| 2 | GKP w odległości poziomej 15m od anteny sektorowej az. 330° | 0.3-2.0 | **<0.003*** | **<0.003*** | <0.003* | 0.003 | 0.05 | 53°4'51.2" 15°29'56.0" |
| 3 | GKP w odległości poziomej 14m od anteny sektorowej az. 240° | 0.3-2.0 | **<0.003*** | **<0.003*** | <0.003* | 0.003 | 0.05 | 53°4'50.5" 15°29'55.7" |
| 4 | GKP w odległości poziomej 16m od anteny sektorowej az. 150° | 0.3-2.0 | **<0.003*** | **<0.003*** | <0.003* | 0.003 | 0.05 | 53°4'50.2" 15°29'57.1" |
| 5 | GKP w odległości poziomej 24m od anteny radioliniowej az. 112° | 0.3-2.0 | **<0.003*** | **<0.003*** | <0.003* | 0.003 | 0.05 | 53°4'50.5" 15°29'57.8" |
| 6 | GKP w odległości poziomej 52m od anteny radioliniowej az. 112° | 0.3-2.0 | **<0.003*** | **<0.003*** | <0.003* | 0.003 | 0.05 | 53°4'50.2" 15°29'59.3" |
| 7 | GKP w odległości poziomej 37m od anteny sektorowej az. 60° | 0.3-2.0 | **<0.003*** | **<0.003*** | <0.003* | 0.003 | 0.05 | 53°4'51.2" 15°29'58.2" |
| 8 | GKP w odległości poziomej 75m od anteny sektorowej az. 60° | 0.3-2.0 | **<0.003*** | **<0.003*** | <0.003* | 0.003 | 0.05 | 53°4'52.0" 15°30'0.0" |
| 9 | GKP w odległości poziomej 113m od anteny sektorowej az. 60° | 0.3-2.0 | **<0.003*** | **<0.003*** | <0.003* | 0.003 | 0.05 | 53°4'52.7" 15°30'1.8" |
| 10 | GKP w odległości poziomej 37m od anteny sektorowej az. 150° | 0.3-2.0 | **<0.003*** | **<0.003*** | <0.003* | 0.003 | 0.05 | 53°4'49.8" 15°29'57.5" |

Sprawozdanie z badań bez pisemnej zgody laboratorium nie może być powielane inaczej niż w całości.
Wyniki przedstawione w niniejszym sprawozdaniu odnoszą się wyłącznie do badanego obiektu i do warunków i konfiguracji urządzeń w dniu wykonywania pomiarów.

| | | | | | | | | |
|---|---|---|---|---|---|---|---|---|
| 11 | GKP w odległości poziomej 73m od anteny sektorowej az. 150° | 0.3-2.0 | **<0.003*** | **<0.003*** | <0.003* | 0.003 | 0.05 | 53°4'48.7" 15°29'58.6" |
| 12 | GKP w odległości poziomej 109m od anteny sektorowej az. 150° | 0.3-2.0 | **<0.003*** | **<0.003*** | <0.003* | 0.003 | 0.05 | 53°4'47.6" 15°29'59.6" |
| 13 | GKP w odległości poziomej 36m od anteny sektorowej az. 240° | 0.3-2.0 | **<0.003*** | **<0.003*** | <0.003* | 0.003 | 0.05 | 53°4'50.2" 15°29'54.6" |
| 14 | GKP w odległości poziomej 72m od anteny sektorowej az. 240° | 0.3-2.0 | **<0.003*** | **<0.003*** | <0.003* | 0.003 | 0.05 | 53°4'49.4" 15°29'53.2" |
| 15 | GKP w odległości poziomej 108m od anteny sektorowej az. 240° | 0.3-2.0 | **<0.003*** | **<0.003*** | <0.003* | 0.003 | 0.05 | 53°4'49.1" 15°29'51.4" |
| 16 | GKP w odległości poziomej 36m od anteny sektorowej az. 330° | 0.3-2.0 | **<0.003*** | **<0.003*** | <0.003* | 0.003 | 0.05 | 53°4'52.0" 15°29'55.7" |
| 17 | GKP w odległości poziomej 71m od anteny sektorowej az. 330° | 0.3-2.0 | **<0.003*** | **<0.003*** | <0.003* | 0.003 | 0.05 | 53°4'52.7" 15°29'54.6" |
| 18 | GKP w odległości poziomej 111m od anteny sektorowej az. 330° | 0.3-2.0 | **<0.003*** | **<0.003*** | <0.003* | 0.003 | 0.05 | 53°4'53.8" 15°29'53.5" |
| - | GKP w odległości poziomej 283m od anteny sektorowej az. 60° | 0.3-2.0 | **<0.003*** | **<0.003*** | <0.003* | 0.003 | 0.05 | 53°4'55.2" 15°30'9.7" |
| - | GKP w odległości poziomej 284m od anteny sektorowej az. 330° | 0.3-2.0 | **<0.003*** | **<0.003*** | <0.003* | 0.003 | 0.05 | 53°4'58.8" 15°29'48.8" |
| - | GKP w odległości poziomej 287m od anteny sektorowej az. 150° | 0.3-2.0 | **<0.003*** | **<0.003*** | <0.003* | 0.003 | 0.05 | 53°4'42.6" 15°30'4.3" |
| - | GKP w odległości poziomej 284m od anteny sektorowej az. 240° | 0.3-2.0 | **<0.003*** | **<0.003*** | <0.003* | 0.003 | 0.05 | 53°4'46.2" 15°29'43.1" |
| 23 | PKP na az. 21° w odległości poziomej 32m od anteny sektorowej az. 60° | 0.3-2.0 | **<0.003*** | **<0.003*** | <0.003* | 0.003 | 0.05 | 53°4'51.6" 15°29'57.1" |
| 24 | PKP na az. 100° w odległości poziomej 34m od anteny sektorowej az. 150° | 0.3-2.0 | **<0.003*** | **<0.003*** | <0.003* | 0.003 | 0.05 | 53°4'50.5" 15°29'58.2" |
| 25 | PKP na az. 197° w odległości poziomej 32m od anteny sektorowej az. 240° | 0.3-2.0 | **<0.003*** | **<0.003*** | <0.003* | 0.003 | 0.05 | 53°4'49.8" 15°29'56.0" |
| 26 | PKP na az. 288° w odległości poziomej 35m od anteny sektorowej az. 330° | 0.3-2.0 | **<0.003*** | **<0.003*** | <0.003* | 0.003 | 0.05 | 53°4'51.2" 15°29'54.6" |

GKP – Główny Kierunek Pomiarowy
PKP – Pomocniczy Kierunek Pomiarowy
[1] wyniki oznaczone * są wynikami poniżej czułości zestawu pomiarowego i są wynikami spoza zakresu akredytacji. Do obliczenia wyniku skorygowanego przyjęto wartość skorelowaną z rzeczywistym wynikiem pomiaru - dolną granicę akredytowanego zakresu pomiarowego metody
[2] współrzędne geograficzne pozyskane metodą pomiaru bezpośredniego
[3] do wyznaczenia wartości wskaźnikowej $WM_E$ i $WM_H$ przyjęto na podstawie uzgodnień z klientem oraz rozpoznania źródeł, jako wartości dopuszczalne pola elektrycznego i magnetycznego odpowiednio 28 V/m i 0,073 A/m.
[4] do wyznaczenia niepewności dla wyników poniżej czułości zestawu pomiarowego, przyjęto niepewność dla minimalnej wartości z zakresu pomiarowego.
[5] maksymalna wartość chwilowa
Niepewność oszacowano zgodnie z dokumentem P-03 „Procedura nadzoru nad wyposażeniem" w postaci niepewności rozszerzonej wynikającej z niepewności standardowej pomnożonej przez współczynnik rozszerzenia k=2.
Całkowita szacowana niepewność rozszerzona składowej E wynosi odpowiednio:
sonda SW-07: 28.6% dla częstotliwości do 4 GHz, sonda SW-08: 31.4% dla częstotliwości do 4 GHz
Pomiar wykonany metodą 2 sond, opisaną w artykule Medycyna Pracy 2015;66(5):701–712 „Optymalizacja metodyki pomiaru wieloczęstotliwościowego pola elektromagnetycznego stacji bazowych telefonii komórkowej".

Umiejscowienie pionów (punktów) pomiarowych przedstawiono w załączniku nr 2 do niniejszego sprawozdania.

Sprawozdanie z badań bez pisemnej zgody laboratorium nie może być powielane inaczej niż w całości.
Wyniki przedstawione w niniejszym sprawozdaniu odnoszą się wyłącznie do badanego obiektu i do warunków i konfiguracji urządzeń w dniu wykonywania pomiarów.

## 10. Omówienie wyników pomiarów

W związku z tym, że żadna z wartości zmierzonych, udokumentowanych w tabelach w pkt. 9, uzyskanych w skutek zastosowania pomiaru szerokopasmowego, powiększonego o rozszerzoną niepewność pomiaru U dla współczynnika rozszerzenia k = 2 nie przekroczyła 70% najniższej dopuszczalnej wartości składowej elektrycznej lub magnetycznej pola dla objętych pomiarami zakresów częstotliwości, nie uwzględnia się poprawek pomiarowych.

W wyniku zastosowania sposobu sprawdzenia dotrzymania dopuszczalnych poziomów pól elektromagnetycznych w środowisku, zgodnie pkt 25 ppkt 1 Rozporządzenia Ministra Klimatu z dnia 17 lutego 2020 r. (Dz. U. 2022, poz. 2630), w związku z tym, że żadna z wartości wskaźnikowych, udokumentowanych w tabelach w pkt. 9 nie przekracza wartości 1, stwierdza się, że w miejscach, w których wykonano pomiary w otoczeniu instalacji radiokomunikacyjnej 42298 (62298N!) PGO_KRZECIN_WSCHOD, dopuszczalne poziomy pól elektromagnetycznych w środowisku należy uznać za dotrzymane.

## 11. Podstawa prawna

1) Ustawa z dnia 27 kwietnia 2001 r. Prawo ochrony środowiska (T. j. Dz. U. z 2025 r., poz. 647 z późn. zm.)
2) Rozporządzenie Ministra Zdrowia z dnia 17 grudnia 2019 r. w sprawie dopuszczalnych poziomów pól elektromagnetycznych w środowisku (Dz. U. 2019, poz. 2448)
3) Rozporządzenie Ministra Klimatu z dnia 17 lutego 2020 r. w sprawie sposobów sprawdzania dotrzymania dopuszczalnych poziomów pól elektromagnetycznych w środowisku (Dz. U. 2022, poz. 2630),
4) Akredytacja nr AB 419 wydana przez Polskie Centrum Akredytacji (wydanie nr 25 z dnia 01.09.2026 r.)

## 12. Spis załączników

Załącznik 1. Lokalizacja obiektu badań
Załącznik 2. Usytuowanie pionów (punktów) pomiarowych
Załącznik 3. Dokumentacja fotograficzna obiektu badań

## 13. Data wydania i autoryzowania sprawozdania

Obliczenia i sprawozdanie wykonał :

BARBARA STELMASZYK
Elektronicznie podpisany przez BARBARA STELMASZYK
Data: 2026.10.29 21:06:28 +01'00'

Sprawozdanie autoryzował:

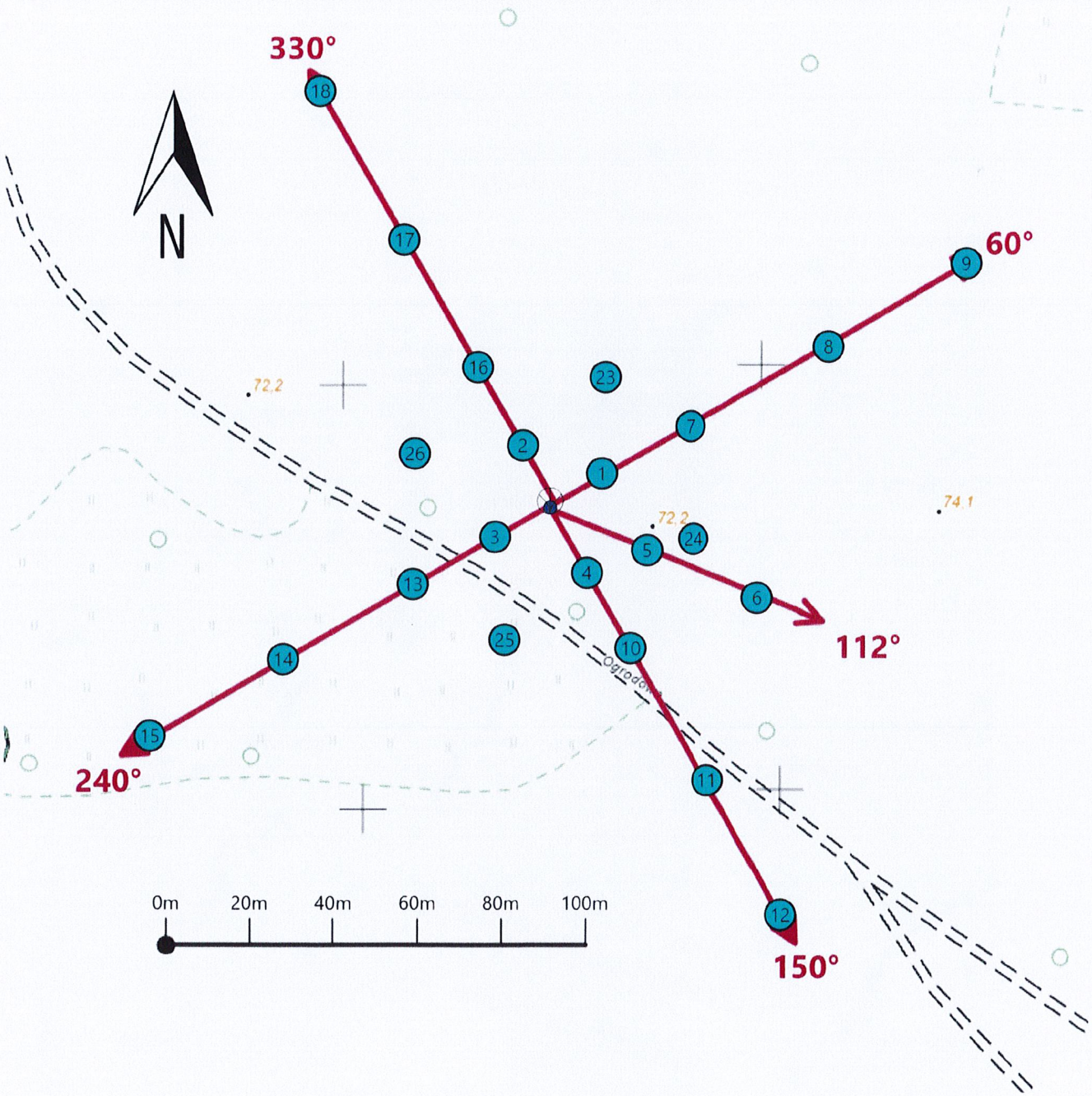
Signed by / Podpisano przez:
Angelika Okoniewska
Date / Data: 2026-10-30 14:10

**Koniec sprawozdania**

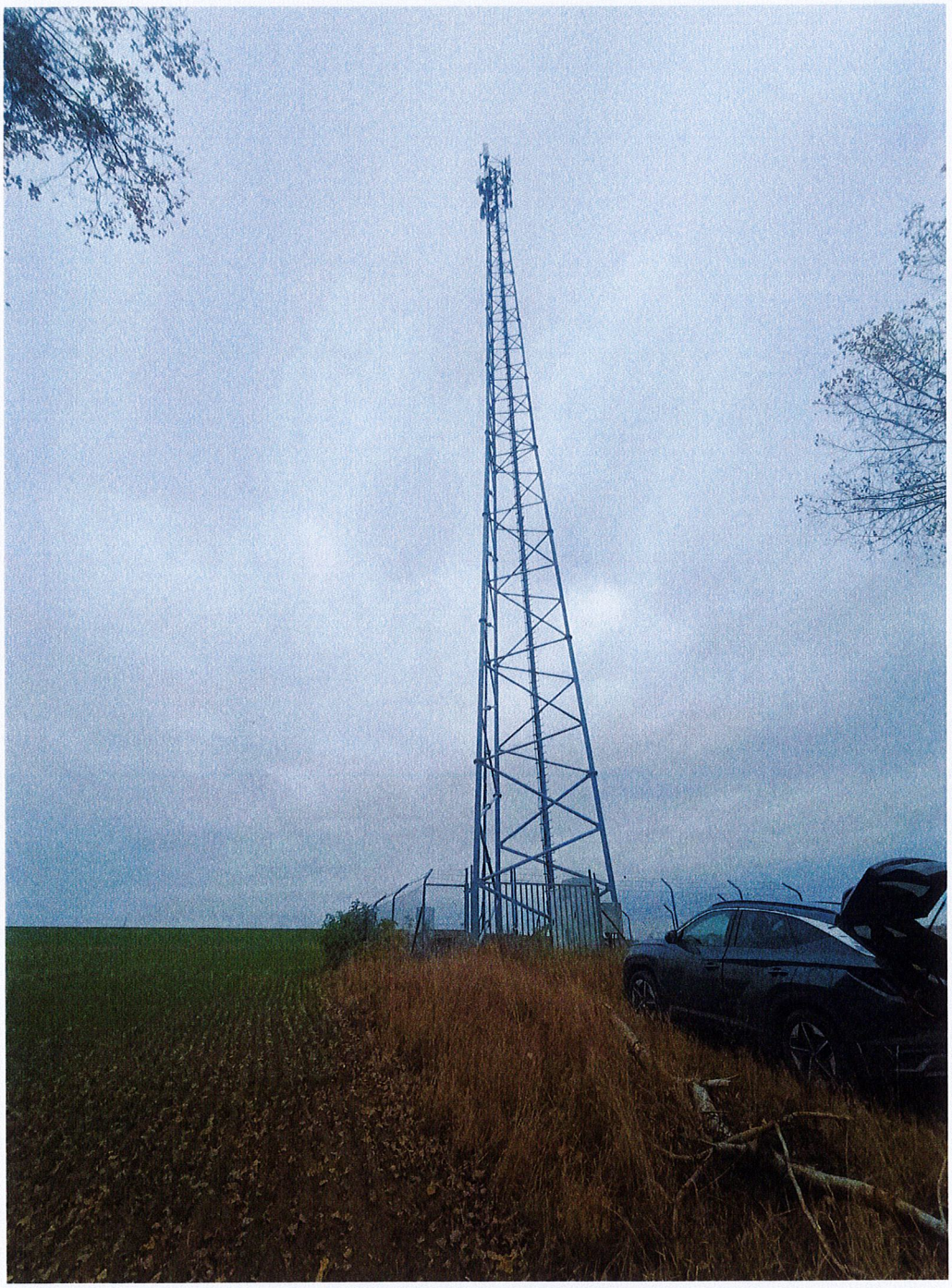
Sprawozdanie z badań bez pisemnej zgody laboratorium nie może być powielane inaczej niż w całości.
Wyniki przedstawione w niniejszym sprawozdaniu odnoszą się wyłącznie do badanego obiektu i do warunków i konfiguracji urządzeń w dniu wykonywania pomiarów.




| Załącznik nr 1 | Instalacja radiokomunikacyjna T-Mobile Polska S.A.<br>42298 (62298N!) PGO_KRZECIN_WSCHOD<br>Lokalizacja instalacji |
|---|---|




| Załącznik nr 2 | Instalacja radiokomunikacyjna T-Mobile Polska S.A.<br>PGO_KRZECIN_WSCHOD (62298N!)<br>Usytuowanie pionów pomiarowych w otoczeniu instalacji radiokomunikacyjnej |
|---|---|
| | Legenda:<br>Źródło pola elektromagnetycznego; Brak dostępu; Pion pomiarowy; Kierunek oddziaływania anten sektorowych; Kierunek oddziaływania anten radioliniowych |



| Załącznik nr 3 | Instalacja radiokomunikacyjna T-Mobile Polska S.A.<br>42298 (62298N!) PGO_KRZECIN_WSCHOD<br>Dokumentacja fotograficzna |
|---|---|